(3H,s,OCH₃-7),3.72(3H,s,OCH₃-6); ¹³C-NMR (DMSO-d₆,DEPT) &; 163.6(s,C-2),103.6(d,C-3),182.3(s,C-4),152.0(s,C-5),131.8(s,C-6),158.6(s,C-7),91.6(d,C-8),152.6(s,C-9),105.1(s,C-10),122.7(s,C-1'),109.3(d,C-2'),149.0(s,C-3'),152.2(s,C-4'),111.6(d,C-5'),120.1(d,C-6'),55.7(q,OCH₃-6),55.8(q,OCH₃-7),56.4(q,OCH₃-3'),60.0(q,OCH₃-4')。 ¹H-NMR、 ¹³C-NMR 数据与文献一致^[7],故鉴定化合物 VI 为 5-羟基-6,7,3',4'-四甲氧基黄酮。

化合物 W: 浅黄色针晶(甲醇), mp 285~286 C。 H-NMR、MS 数据与文献一致^[9], 故鉴定化合物 W为 5,4'-二羟基-7-甲氧基黄酮。

化合物证:浅黄色针晶(甲醇),mp $214 \sim 215$ °C。EI-MS m/z (100%):344[M]+(60),329[M - 15]+(100); ¹H-NMR (DMSO-d₆) δ : 12. 48 (1H, s, OH-5), 9. 12 (1H, s, OCH₃-6), 8. 04 (2H, d, J=9. 0 Hz, H-2', 6'), 7. 14 (2H, d, J=9. 0 Hz, H-3', 5'), 6. 91 (1H, s, H-3), 3. 94 (3H, s, OCH₃), 3. 91 (3H, s, OCH₃), 3. 85 (3H, s, OCH₃); ¹³C-NMR (DMSO-d₆, DEPT) δ : 163. 5 (s, C-2), 103. 0 (d, C-3), 182. 6 (s, C-4), 141. 8(s, C-5), 134. 2(s, C-6), 148. 0(s, C-7), 132. 9 (d, C-8), 143. 1 (s, C-9), 106. 1 (s, C-10), 122. 9 (s, C-1'), 128. 2 (d, C-2'), 144. 7 (s, C-3'), 162. 4 (s, C-4'), 114. 7 (d, C-5'), 128. 2 (d, C-6'), 61. 8(q, OCH₃), 60. 9(q, OCH₃), 55. 5(q, OCH₃)。根据以上数据鉴定化合物证为 5,6-二羟基-7,8,4'-三甲氧基黄酮。

化合物 II: 黄色针晶(甲醇), mp 227~230 ℃。 MS、¹³C-NMR数据与文献一致^[10], 故鉴定化合物 II 为 5,4'-二羟基-6,7,8-三甲氧基黄酮。 化合物 X: 浅黄色粉末, mp 266~267 C。Molish 反应阳性, 盐酸水解液与标准糖对照, 含鼠李糖和 葡萄糖。 ESI-MS m/z (%): 591 (M+ - 1)。 'H-NMR、'3C-NMR数据与文献[11]—致, 故鉴定化合物 X为 4'-甲氧基-5,7-二羟基黄酮-7-O-α-L-鼠李糖(1-6)- β -D-吡喃葡萄糖苷(醉鱼草苷, linarin)。

致谢:北京徽量化学所涂光忠教授、安冬各副教授及北京大学药学院乔梁副教授代测核磁共振谱; 中国科学院化学所质谱室熊少祥副教授代测质谱。 References:

- [1] Ch P (中国药典) [S]. Vol 1. 2000.
- [2] Zhang J D, Wang Q Q. The chemical constituents in the residue of *Mentha haplocalyx* and their antiphlogistic action [J]. Shandong Pharm Ind (山东医药工业), 2000, 19(3);
- [3] Shan C.C. Use of RBL-2H3 cells in the study of anti-hypersensitive action compounds (I)[J]. Foreign Med Sci. Tradit Chin Med (国外医学:中医中药分册), 1996, 18(4); 54.
- [4] Shi Y, Shi R B, Liu B, et al. Studies on antiviral flavonoids in Yinqiaosan powder [J]. China J Chin Mater Med (中国中药杂志), 2001, 26(5); 320-323.
- [5] Wang J Z, Wang F P. Two flavones from the leaves of Rabdosia coetsa [J]. West China J Pharm Sci (华西药学杂志), 1999, 14(2): 73-75.
- [6] Arouk Z, Bernard V, Maurice J, et al. Free flavonoid agly-cones from leaves of Mentha pulegium and Mentha suaveolens (Labiatae) [J]. Phytochemistry, 1998, 48(6): 991-994.
- [7] Zheng J, Zhao D S, Wu B, et al. A study on chemical constituents in the herb of Mentha spicata [J]. China J Chin Mater Med (中国中药杂志), 2002, 27(10); 749-751.
- [8] Jullien F, Voirin B, Bernillon J, et al. Highly oxygenated flavones from Mentha piperita [J]. Phytochemisty, 1984, 23 (12): 2972-2973.
- [9] Zhang G W, Ma X Q, Su J Y, et al. Flavonoids isolated from Pogostemon cablin [J]. Chin Tradit Herb Drugs (中草药), 2001, 32(10): 871-874.
- [10] Corticchiato M, Bernardini A, Costa J, et al. Free flavonoid aglycones from *Thymus herba barona* and its monoterpenoid chemotypes [J]. *Phytochemisty*, 1995, 40(1): 115-120.
- [11] Li J S, Zhao Y Y, Wang B, et al. Separation and identification of the flavonoids from Buddleia officinalis Maxim [J].

 Acta Pharm Sin (药学学报), 1996, 31(11), 849-854.

沙棘籽中的原花色素化合物

类金玲,丁霄森*,徐德平 (江南大学食品学院 天然药食学科组,江苏 无锡 214036)

沙棘 Hippophae rhamnoides L. 为胡颓子科沙棘属植物,广泛分布于欧亚大陆^[1]。我国是沙棘属植物分布面积最大、种类最多的国家。沙棘具有祛痰、

利肺、化湿、壮阴、升阳、健脾养胃与破瘀止血等多种功效^[2],其化学成分研究多见于黄酮化合物^[3],原花色素成分研究较少。原花色素是黄烷-3-醇单元经

收稿日期:2005-07-24

作者简介: 獎金玲(1973-),女,研究方向为天然药食科学。 Tel;(0510)88866956 E-mail;fan20032006@yahoo.com.cn * 通讯作者 丁霄霖

 $C_4 \rightarrow C_8$ 或 $C_4 \rightarrow C_6$ 键连接而成的多聚化合物,具有 抗癌、抗病毒等多种活性;原花青素和原飞燕草素是 最为常见的两类原花色素。对沙棘籽中的原花色素 成分进行了研究,从其70%丙酮提取的醋酸乙酯部 分分得 6 个化合物,鉴定为: 儿茶素(catechin, I)、 表儿茶素(epicatechin, I)、棓儿茶素(gallocatechin, I)、表格儿茶素(epigallocatechin, N)、原花 青素 B-3 [catechin-(4α-8)-catechin, V]、原花青素 B-4 [catechin-(4α-8)-epicatechin, VI]。同时,利用 Sephadex LH-20 纯化原花色素多聚体组分,并通过 HPLC-ESI 分析多聚体的苄硫醇降解产物,确定组 成及聚合度。结果表明,儿茶素、表儿茶素、棓儿茶 素、表棓儿茶素均出现延伸单元和末端单元中,棓儿 茶素是构成末端单元的主要成分,原飞燕草素单元 是延伸单元的主要成分。多聚体的平均聚合度为 12.2,原飞燕草素比例为81.2%。化合物 Ⅴ、Ⅵ 为首 次从该属植物中分离得到。

1 实验部分

1.1 仪器和材料: H-NMR(500 MHz)和13C-NMR (125 MHz)用 Bruker 公司生产的 Advance 500 型核磁共振仪测定。高效液相色谱为 Waters 2690。 ESI-MS 用 Waters Platform ZMD 4000 型质谱仪测定。柱色谱聚酰胺(90~100 目)为浙江省台州市路桥四甲生化塑料厂产品,薄层硅胶 GF254为青岛海洋化工厂生产;ODS-AQ(C18)购自日本 YMC 公司;Toyopearl HW-40F购自日本 TOSOH 公司。所用溶剂均为分析纯,由国药集团化学试剂有限公司生产;实验用沙棘籽采自山西省太谷县,经山西省农业大学秦国新鉴定为 H. rhamnoides L.。

1.2 提取与分离:沙棘籽 5 kg,磨粉后用水-丙酮(30:70)回流提取 3 次,合并提取液;减压蒸发除去丙酮,剩余水溶液先后用正己烷、醋酸乙酯萃取。醋酸乙酯相经过聚酰胺柱色谱分离,以水-乙醇(100:0,15:85,35:65,55:45,70:30)进行梯度洗脱,分步收集的流分经薄层色谱展开[展开剂:甲苯-丙酮-醋酸(3:3:1)],并用香草醛-硫酸显色,合并相同流分。显色反应表明 35:65,55:45 洗脱组分含原 花色素类物质。35:65(水-乙醇)流分经 Toyopearl HW-40F 凝胶柱色谱纯化得到化合物 I、I、II、IV。55:45 流分经过 Toyopearl HW-40F 凝胶柱色谱纯化得到化合物 V、II、II、IV。55:45 流分经过 Toyopearl HW-40F 凝胶柱色谱和常压反相柱色谱(ODS-AQ)纯化后,得到化合物 V、IV。水相经 Sephadex LH-20 柱色谱纯化,水-乙醇(50:50)洗脱大部分杂质,然后用水-丙酮(30:70)洗脱,收集洗脱液,40 ℃真空浓缩至干,

得到沙棘籽原花色素多聚体。对多聚体进行苄硫醇 降解分析。

1.3 多聚体原花色素分析

1.3.1 苄硫醇降解反应[4]:于1 cm×10 cm 试管中 依次加入 2 mg/mL 多聚体的甲醇溶液 0.4 mL、 3.3% HCl 的甲醇溶液 0.4 mL 及 5%苄硫醇甲醇 溶液 0.8 mL,试管密封,混匀后干水浴(40 C)中反 应 30 min。硫解产物经 HPLC/ESI-MASS 分析。 1.3.2 色谱质谱条件:色谱柱:Purospher STAR RP18(250 mm×4.6 mm,5 μm);流动相 A 液:15% 甲醇含1%醋酸,B液:85%甲醇含1%醋酸。线性梯 度洗脱:0→30 min,B 液 0→100%;体积流量:1.0 mL/min;柱温:35 C;进样量:20 μL;检测波长:280 nm。质谱条件:负离子扫描(ESI-,m/z 100~900), 毛细管电压:3.8 kV;锥孔电压:30 V;光电倍增器 电压:650 V;离子源温度:120 C;脱溶剂气温度: 300 C;检测分流比1:5。以二氢五羟黄酮为标准物 质,(表)儿茶素苄硫醚、(表)棓儿茶素苄硫醚、(表) 儿茶素、(表) 棓儿茶素的相对摩尔响应系数分别为 0.25、0.06、0.26、0.07[5]。平均聚合度按下式计算。

平均聚合度=苄硫醚衍生物总量/黄烷-3-醇总量+1

2 结构鉴定

化合物 1:白色粉末,易溶于甲醇。ESI-MS、 ¹H-NMR、¹³C-NMR数据与文献对照^[6],与儿茶素基本一致。

化合物 I:白色粉末,易溶于甲醇。ESI-MS、¹H-NMR、¹³C-NMR数据与文献表儿茶素(epicate-chin)基本一致^[6]。

化合物 II: 白色粉末,易溶于甲醇。ESI-MS、 ¹H-NMR、¹³C-NMR数据与棓儿茶素基本一致[6]。

化合物 №:白色粉末,易溶于甲醇。ESI-MS、 ¹H-NMR、¹³C-NMR数据与表棓儿茶素基本一致^[6]。

化合物 V:白色粉末,易溶于甲醇。Negative ESI-MS m/z:577[M-H]⁻、451、425、407、289、287。延伸单元儿茶素(extension unit)¹³C-NMR(DMSO-d₆) δ: 157.4(C-7),156.0(C-8α),146.4(C-5),146.1(C-3'),145.8(C-4'),132.2(C-1'),120.2(C-6'),116.5(C-5'),115.5(C-2'),107.5(C-4α),97.2(C-6),96.4(C-8),84.4(C-2),73.9(C-3),38.9(C-4)。末端单元儿茶素(terminal unit)158.9(C-7),156.2(C-5),155.2(C-8α),146.3(C-3'),145.9(C-4'),132.9(C-1'),120.9(C-6'),116.7(C-5'),115.8(C-2'),108.5(C-8),102.6(C-4α),97.6(C-6),82.8(C-2),69.2(C-3),29.1(C-4)。从¹³C-NMR可见,该化合

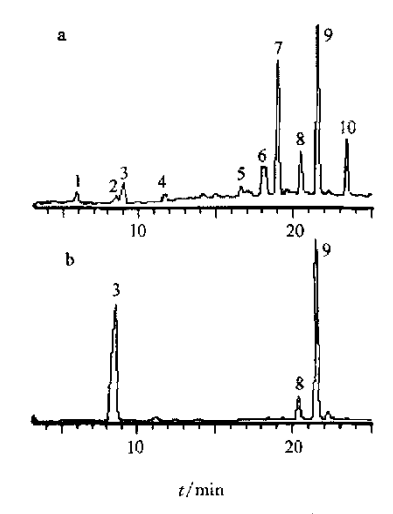
物有 30 个碳,应为二聚体结构。29.1、69.2、82.8 应为 儿茶素的 C-4、C-3、C-2 的信号;38.9、73.9、84.4 应 为另一儿茶素的 C-4、C-3、C-2 的信号,因 C4-C8 相 连,使这一儿茶素单元的 C4 移向低场,同时引起 C-3、C-2 移向低场,同时 C-4α(107.5) 也移向低场,因此这一组信号为延伸单元儿茶素,而末端单元儿茶素的 C-8 也向低场移动,故判断为 catechin-(4α-8)-catechin。 经与文献对照^[7],ESI-MS、¹H-NMR、¹³C-NMR光谱数据基本一致。

化合物 VI: 白色粉末,易溶于甲醇。Negative ESI-MS m/z: 577 $[M-H]^-$, 451, 425, 407, 289, 287. 13C-NMR (DMSO-d₆)延伸单元 川茶素 (extension unit) δ : 159. 2 (C-7), 157. 8 (C-8 α), 156. 1 (C-5), 147. 2(C-3'), 146. 8(C-4'), 132. 7(C-1'), 121. 7(C-6'),116.9(C-2'),109.1(C-5'),107.7(C-8),107.2 $(C-4\alpha)$, 98. 2 (C-6), 84. 3 (C-2), 74. 3 (C-3), 39. 4 (C-4)。末端单元表儿茶素(terminal unit)157.9(C-7), 156. $8(C-8\alpha)$, 155. 4(C-5), 146. 9(C-3'), 146. 6 (C-4'), 132. 2 (C-1'), 121. 7 (C-6'), 116. 5 (C-2'), 108. 3(C-5'), 107. $2(C-4\alpha)$, 99. 9(C-8), 97. 8(C-6), 80.4(C-2),67.9(C-3),30.3(C-4)。从¹³C-NMR可 见,该化合物有30个碳,应为黄酮类化合物的二聚体。 共有 10 个连氧苯环碳, 30.3、39.4 的化学位移表明应 为黄烷醇类化合物的二聚体。67.9 和80.4 应为表儿 茶素的 C-3 和 C-2 信号,表明表儿茶素为二聚体的末 端单元,即 4 位未参与成键。表儿茶素 C-8 的 8 值由 95 左移到 99.9。表明参与成键。74.3 应为儿茶素的 C-3 信号,其 δ 值向低场移动 6,说明受到 β 位的影响; 39. 4 为儿茶素 C-4 信号,说明 C-4 参与成键,δ 值向 低场移动。综合以上分析,该化合物为 catechin-(4c-8)-epicatechin。经与文献对照[7],ESI-MS、1H-NMR、 13C-NMR光谱数据基本一致。

3 多聚体原花色素结构分析

在苄硫醇存在条件下的酸降解反应(简称硫解) 是常用的原花色素的分析方法之一^[8]。硫解使原花 色素的末端单元以游离的黄烷-3-醇的形式释放出 来,延伸单元被亲核试剂苄硫醇捕捉,生成相应的苄 硫醚化合物。分析硫解产物,可确定原花色素的构成 单元及聚合度等主要结构特征。

硫解经 Sephadex LH-20 纯化后的沙棘籽原花色素多聚体,硫解产物通过 HPLC 分离,并经串联 ESI-MASS 加以鉴别。硫解物的高效液相色谱图见图 1。沙棘籽原花色素硫解共得到 10 种产物。结合对照单体化合物的紫外吸收光谱及质谱图(图 2-a,



a-多聚体总提取物 b-原花青素 B3

a-total extract of polymeric PA b-procyanidin B3

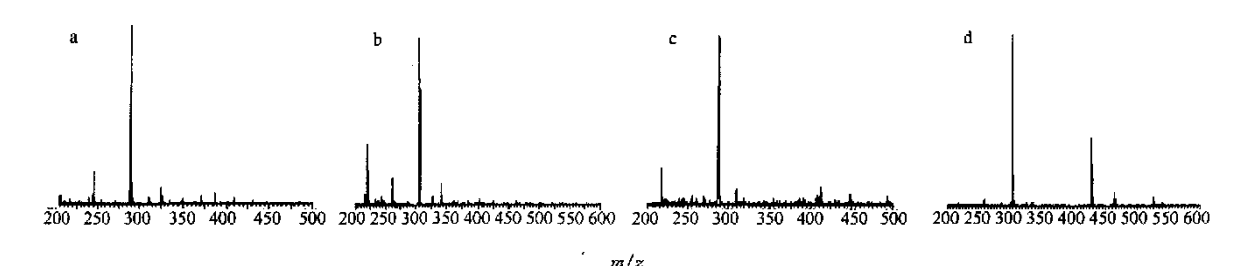
图 1 280 nm 检测沙棘籽原花青素硫解产物的 HPLC 图 Fig. 1 HPLC Chromatogram of thiolysis media of sea buckthorn seed proanthocyanidins

(PA) detected at 280 nm

2-b),确定峰 1([M-H] m/z; 305)、峰 2([M-H] m/z; 305)、峰 3([M-H] m/z; 289)、峰 4([M-H] m/z; 289)、峰 4([M-H] m/z; 289)分别为棓儿茶素、表棓儿茶素、儿茶素、表儿茶素。峰 8、峰 9的[M-H] m/z 为411(图 2-c),经与原花青素 B3的硫解产物对照,确定为儿茶素苄硫醚。峰 10的质谱信息与儿茶素苄硫醚极为相似,但原花青素 B3 硫解产物中并未出现该化合物,表明为表儿茶素苄硫醚。峰 5、6、7的[M-H] m/z 为 427,特征碎片离子 m/z 为 303(图 2-d),表明这 3 个化合物为表棓儿茶素苄硫醚或棓儿茶素苄硫醚。但由于质谱图无法给出 C-2、3、4 的构型信息,因此,暂不能区分这两类苄硫醚产物。

定量计算各硫解产物,得到沙棘籽原花色素的单体构成及聚合度,见表1。由于本试验条件下无法区分棓儿茶素、表棓儿茶素的苯基硫醚产物,因此,将相应延伸单元中的棓儿茶素(GC)和表棓儿茶素(EGC)合并计算,统称为原飞燕草素单元。从表1可看出,儿茶素、表儿茶素、棓儿茶素、表棓儿茶素均出现在延伸单元和末端单元中,反映出沙棘籽原花色素的高度异质性。棓儿茶素是构成末端单元的主要成分,原飞燕草素单元是延伸单元的主要成分。平均聚合度为12.2,原飞燕草素比例为81.2%,棓儿茶素占末端单元的56.1%。

目前,已从沙棘籽中纯化得到 4 种黄烷醇单体和两种二聚体,分别为儿茶素、表儿茶素、棓儿茶素、表格儿茶素、原花青素B3和B4。由于原飞燕草素二



a-(表)儿茶素 b-(表)棓儿茶素 c-(表)儿茶素苄硫醚 d-(表)棓儿茶素苄硫醚

a-(epi) catechin b-(epi) gallocatechin c-(epi) catechin benzylthioether d-(epi) gallocatechin benzylthioether

图 2 沙棘籽原花色素多聚体硫解产物的质谱图

Fig. 2 Mass spectrogram of components in thiolysis media of sea buckthorn seed proanthocyanidins polymers

表 1 沙棘籽原花色素多聚体的平均聚合度及单体组成分析"

Table 1 Analysis of average polymerization grade and single composition of sea buckthorn seed proanthocyanidin polymers determined by HPLC*

| 末端单元 | | | | 延伸单元 | | | 平均聚合度/ | 倍少地共事(5.6)77 |
|------|-----|-----|------|--------|-------|------|--------|--------------|
| GC | EGC | Cat | EC | GC+EGC | Cat | EC | mDP | 原飞燕草素比例/% |
| 4.6 | 1.3 | 1.6 | 0.70 | 75. 2 | 13. 7 | 2. 9 | 12. 2 | 81.2 |

*GC、EGC、Cat、EC 分别为棓儿茶素、表棓儿茶素、儿茶素及表儿茶素单元的缩写,表中数据为摩尔分率

*GC, EGC, Cat, and EC are abbreviations for gallocatechin, epigallocatechin, catechin, and epicatechin units. All amounts represent relative concentrations (in mol)

聚体在分离纯化过程中极易氧化,因而未能得到。在 试验过程中,同时发现了数量较多的混合二聚体,即 由(表) 儿茶素和(表) 棓儿茶素单元组成的二聚体 (HPLC-ESI 分析结果另见报道)多聚体由儿茶素、 表儿茶素、焙儿茶素、表焙儿茶素单元组成,并且主 要为原飞燕草素。以上研究结果表明:沙棘籽原花色 素组成复杂,具有高度异质的特点。这是有关沙棘籽 原花色素组成的首次报道。

References;

- [1] Rousi A. The genus Hippophae L. A taxonomic study [J]. Ann Bot Fennici, 1971, 8: 177-227.
- [2] Jiangsu New Medical College. Dictionary of Chinese Materia Medicia (中药大辞典) [M]. Shanghai: Shanghai People's Publishing House, 1977.
- [3] R ösch D, Bergmann M, Knorr D, et al. Structure-antioxi-

- dant efficiency relationships of phenolic compounds and their contribution to antioxidant activity of sea buckthorn juice [J]. J Agric Food Chem, 2003, 51(15); 4233-4329.
- [4] Guyot S, Marnet N, Drilleau J F. Thiolysis HPLC characterization of apple procyanidins covering a large range of polymerizations rates [J]. J Agric Food Chem, 2001, 49: 14-20-
- [5] Meagher L P, Lane G, Sivakumaran S, et al. Characterization of condensed tannins from Lotus species by thiolytic degradation and electrospray mass spectrometry [J]. Animal Feed Sci Technol, 2004, 117: 151-163.
- [6] Foo L Y, Lu Y, Menabb W C, et al. Proanthocyanidins from Lotus pedunculatus []]. Phytochemistry, 1997, 45(8): 1689-1690.
- [7] Jorge M, Ricardo da Sliva, Rigard J. et al. Procyanidin dimmers and trimers from grape seed [J]. Phytochemistry, 1991, 30(4); 1259-1264.
- [8] Mattews W, Mila I, Scalbert A, et al. Method for estimation of proanthocyanidins based on their acid depolymerization in the presence of nucleophiles [J]. J Agric Food Chem, 1997, 45: 1195-1201.

喜树果脂肪酸化学成分分析

刘展眉1.2,崔英德1,方岩雄2

(1. 广东工业大学 轻工化工学院,广东 广州 510090; 2. 仲恺农业技术学院 化学与化工系,广东 广州 510225)

喜树 Camptotheca acuminate Decne. 隶喜树属 Camptotheca Decne. 珙桐科,为我国特有树种,出产 于我国的浙江、江苏、江西、湖北、湖南、广东等地。

1966 年由 Wall 等人首次从我国引种的喜树杆中分 离得到喜树碱(CPT),研究发现喜树碱对胃癌、直肠 癌等恶性肿瘤均有一定的近期疗效。1985年,

收稿日期:2005-10-30

基金项目:广东省科学技术攻关项目资助(2KB01202S) 作者简介:刘展眉(1963~),女,广州,副教授,在职博士,主要从事天然产物化学研究。

Tel: (020)89003160 E-mail: liuzhanm@21cn.com